

## I-10 柱の非弾性横接り座屈

名古屋大学工学部 正員 福本博士

1. まえがき 軸方向力と曲げを受ける部材の非弾性横接り座屈、すなはち、部材のある部分がすでに荷重により降伏した状態で横方向に不安定となる現象、その理論的考察を行なう。図-1は一定軸力Pのもとに、端モーメント $M_0$ と部材端回転角 $\theta$ との関係を示したものである。この図で $M_{02MAX}$ は柱が横構により横方向移動を拘束された場合の荷重面内の不安定現象により崩壊する最大端モーメントである。もし、部材が横方向に左へ拘束されていない場合、 $M_0-\theta$ 曲線は弾性限度を超えた $M_{0CR}$ で横方向座屈が始まり、柱はpost-bucklingの性状を示しつつ、最大モーメント $M_{01MAX}$ に達し崩壊する。单一部材では $M_{01MAX}$ と $M_{0CR}$ は通常近接しており、 $M_{0CR}$ に相当する座屈曲げモーメントを横接り座屈により崩壊する部材の崩壊荷重とみなしうる。

### 2. 基礎式

仮定 (1) 材料の応力-歪曲線は理想弾塑性である、(2) 座屈時の断面形の変形はない、(3) 部材は芯内工形断面(2軸対称断面)にて、圧延による残留応力が存在する、(4) 座屈時の断面の strain-reversal はない(Tangent Modulus Concept) (5) 部材は微小変形す。

基礎式 図-2に示すように両端単純支持(曲げ軸とu接りに対する)された部材で、断面、劣断中心S(x), y方向の変位をu, ハビン、接り角を $\beta$ とすると、座屈時の横方向変形に対する平衡条件式は

$$By'' + Pu - [M_0 \{ \beta + (1-\beta) \frac{2}{L} \} - Py_0] \beta = 0 \quad (1)$$

$$Cw\beta'' - (C_T - \int \sigma \delta dA) \beta' - [M_0 \{ \beta + (1-\beta) \frac{2}{L} \} - Py_0] u' + \frac{M_0 (1-\beta)}{L} u = 0 \quad (2)$$

となる。ここで  $M_0 = P \cdot e_{YT}$ ,  $\beta = e_{YB}/e_{YT}$

### 断面諸係数の決定

式(1)および(2)によつて、座屈時にみける $By$ 、横方向曲げ剛性、 $C_T$ 、単純接り剛性、 $C_w$ 、曲げ接り剛性は次のように定義する。

$$By = - \frac{dM_y}{d(\frac{du}{dx^2})} \Big|_{M_y=0}, \quad C_T = \frac{dM_{T'}}{d(\frac{d\beta}{dx})} \Big|_{M_{T'}=0}, \quad C_w = - \frac{dM_{w'}}{d(\frac{d\beta}{dx^2})} \Big|_{M_{w'}=0},$$

弾性領域ではこれらの剛性は  $By = EI_y$ ,  $C_T = Gk_T$ ,

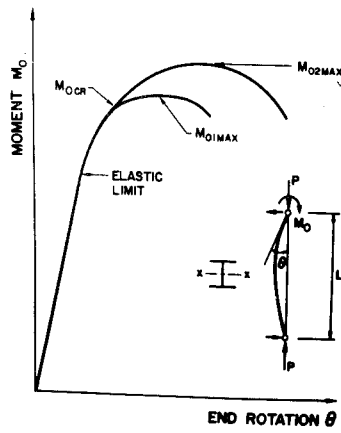


図-1

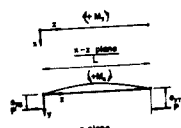
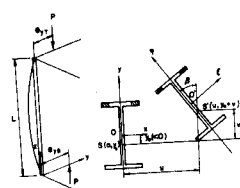


図-2

$C_w = EIw$  となり、それが非弾性係数となるが、非弾性領域ではこれらの値は断面の降伏域の分布とともに変化する。また、垂直応力  $\sigma$  の荷重中心に関する積分の項  $\int \sigma s^2 dA$  は、弾性領域では  $\int \sigma s^2 dA = P \frac{I_y}{L} + \bar{C}$ 、ここで  $\bar{C}$  は残留応力に関する項で  $\bar{C} = 0.48 I_y$ 、断面の一部が降伏してから垂直応力分布は X 軸（水平軸）に対する対称分布でなくなり、断面の降伏域の分布の関数となり、簡単な式には表わせなくなる。

### 3. 座屈強度

#### 等端モーメントと軸方向力が作用するとき

いま、軸力による二次モーメントを無視し、部材に沿って一様な曲げモーメントが分布すると仮定すると、断面の降伏域の分布はスパンに沿って一様となり、式(1), (2)の係数は  $\text{const.}$  となり、式(1), (2)の連立式は弾性座屈の場合と同様に扱いで解くことができる。

$$\left[ P - \frac{\pi^2 B_y}{L^2} \right] \left[ \int \sigma s^2 dA - C_T - \frac{\pi^2 C_w}{L^2} \right] - P^2 (e_y - y_0)^2 = 0 \quad (3)$$

$B_y, \int \sigma s^2 dA, C_T, C_w$  を断面の降伏域分布の関数としてあらかじめ求め置けば式(3)から一定軸力  $P$  における座屈長さと端モーメント  $M_0$  の関係を求めることができる。図-3は数値計算の一例として 8WF31 断面、 $P = 0.2 P_y$  ( $P_y = A \cdot f_y$ ) の部材の座屈強度を示したもの。

軸力による二次モーメントを考慮に入れて、部材に沿っての曲げモーメントは一様でなくなり、したがって、降伏域の分布もスパンに沿って一様でなくなり、部材の剛性もスパンに沿って一様でなくなる。この場合、式(1), (2)は直接には解くことができず、近似解法が必要となる。ここでは、差分方程式により数値解析を行った。スパンを 15 等分し IBM 7040 を使って、Trial-and-Error により座屈強度を求めた。図-3は式(3)により求めた曲線と差分法により求めた曲線とを示している。

#### 端モーメントと軸方向力が作用するとき

等端モーメントの場合と同じよう取り扱い式(1), (2)を差分方程式に直し、スパンを 15 等分して、Trial-and-Error により座屈強度を求めた。図-4は数値計算の一例として 8WF31 断面、 $P = 0.2 P_y$  のときの部材の座屈強度を示している。図-4の上部の細線は横方向移動を拘束したときの部材の荷重面内不安定による最大強度である。

4. あとがき 軸力と曲げを受けた部材の非弾性領域における横揺れ座屈の理論解を求めた。種々の加工工形断面での数値計算の結果、拘束に対し強い断面では横揺れ座屈が生じる前に部材の荷重面内不安定による崩壊によってこれが切離されることがある。

1) Galambos, Ketter; Trans. ASCE Vol. 126, Part I,

1961.

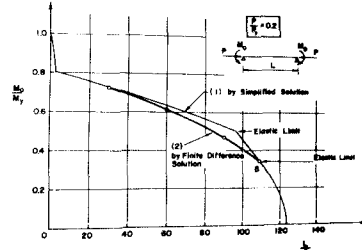


図-3

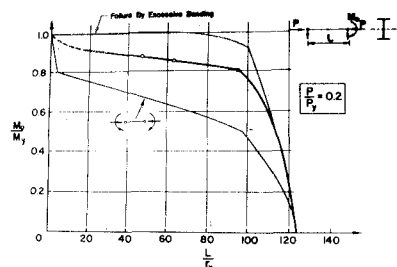


図-4